

НЕЛИНЕЙНОЕ ДЕФОРМИРОВАНИЕ КРУГЛОЙ ПЛАСТИНЫ, ШАРНИРНО ОПЁРТОЙ НА КОЛЬЦЕВОЙ ОПОРЕ И НАГРУЖЕННОЙ РАСПРЕДЕЛЕННОЙ СИЛОЙ ПО КРАЮ

Н.К. ГАЛИМОВ, к.ф.-м.н., вед. науч. сотрудник
ИММ КазНЦ РАН, 420111, Казань, ул. Лобачевского, 2/31

Рассмотрено решение задачи о нелинейном деформировании круглой пластины, шарнирно опёртой на кольцевой опоре и нагруженной распределенной силой по краю. Задача возникла в связи с необходимостью оценки уровня напряжений на поверхности образцов при исследовании нагруженных образцов в коррозионно-активной среде.

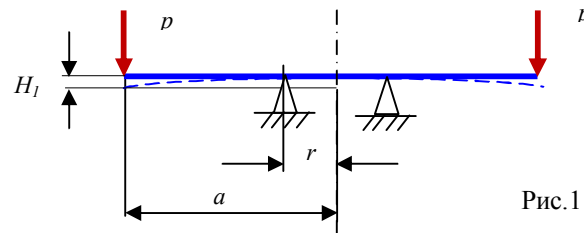
КЛЮЧЕВЫЕ СЛОВА: круглая пластина, кольцевая опора, метод Бубнова-Галеркина, прогиб, совместность деформаций

Введение. В работах [1-3] рассмотрено влияние физических полей на процесс коррозионного износа. Влияние характера деформирования на коррозионный износ отмечено в [4-5]. В публикациях [6-7] изложен способ и устройство для диагностики механических характеристик нагруженных тонкостенных элементов. В статье рассмотрено решение задачи о нелинейном деформировании круглой пластины, шарнирно опёртой на кольцевой опоре и нагруженной распределенной силой по краю. Задача возникла в связи с необходимостью более точной оценки уровня напряжений на поверхностях образцов на разработанном испытательном узле по [6-7] при исследовании нагруженных образцов в коррозионно-активной среде. Приведены исходные соотношения, а также описан на базе метода Бубнова - Галеркина алгоритм вывода основной зависимости относительно прогиба пластины.

Решение задачи. Рассмотрим решение задачи о нелинейном деформировании круглой пластины, шарнирно опёртой на кольцевой опоре и нагруженной распределенной силой по краю (рис.1).

Уравнения равновесия для круглой пластины имеют вид [8]:

$$\frac{d(rT_1)}{dr} = T_2, \quad \frac{1}{r} \frac{d(rQ)}{dr} - T_1\chi_1 - T_2\chi_2 = 0, \quad (1)$$



где r – радиальная координата, T_1 и T_2 – радиальное и кольцевое усилия, Q – перерезывающая сила, χ_1 и χ_2 – изменения кривизн в радиальном и кольцевом направлениях.

Усилия T_1 , T_2 и перерезывающая сила Q через радиальное перемещение u и прогиб w выражаются следующим образом:

$$T_1 = B(\varepsilon_1 + \nu\varepsilon_2), \quad T_2 = B(\varepsilon_2 + \nu\varepsilon_1), \quad (2)$$

$$\varepsilon_1 = \frac{du}{dr} + \frac{1}{2}\omega^2, \quad \varepsilon_2 = \frac{u}{r}, \quad \chi_1 = -\frac{d^2w}{dr^2}, \quad \chi_2 = -\frac{1}{r} \cdot \frac{dw}{dr},$$

$$Q = -D \frac{d\Delta w}{dr}, \quad \Delta w = \frac{1}{r} \frac{d}{dr} (d\omega), \quad \omega = \frac{dw}{dr}, \quad (3)$$

где ε_1 и ε_2 – радиальная и окружная деформации, а B и D – жесткости пластинки на растяжение и изгиб,

$$B = \frac{Eh}{1-\nu^2}, \quad D = \frac{Eh^3}{12(1-\nu^2)}. \quad (4)$$

Здесь E – модуль упругости, ν – коэффициент Пуассона материала пластинки, h – её толщина.

Радиальную ε_1 и окружную ε_2 деформации выразим из (2):

$$\varepsilon_1 = \frac{T_1 - \nu T_2}{B(1-\nu^2)}, \quad \varepsilon_2 = \frac{T_2 - \nu T_1}{B(1-\nu^2)}. \quad (5)$$

Внося ε_1 и ε_2 из (5) в формулу совместности деформаций, используя при этом первое из уравнений (1), получим соотношение

$$\xi \frac{d}{d\xi} \left[\frac{1}{\xi} \frac{d}{d\xi} (\xi^2 \bar{T}_1) \right] + 0.5\omega^2 = 0, \quad \xi = \frac{r}{a}, \quad \bar{T}_1 = \frac{T_1}{Eh}, \quad \omega = \frac{dw}{dr} = \frac{1}{a} \frac{dw}{d\xi}, \quad (6)$$

где ξ – безразмерная радиальная координата, \bar{T}_1 – безразмерное усилие, a – радиус пластинки (рис.1).

Обозначим через a_0 – радиус опорного круга пластинки, а через $\xi_0 = a_0/a$ – его безразмерное значение. В нашем конкретном случае $\xi_0 = 0,181818$ [6-7]. Выражения прогибов w^I для области I ($\xi \leq \xi_0$) и w^{II} для области II ($\xi_0 \leq \xi \leq 1$) возьмем в виде:

$$w^I = 0.5 f \left[(\xi_0^2 - 1) \frac{1-\nu}{1+\nu} + 2 \ln \xi_0 \right] (\xi^2 - \xi_0^2), \quad \xi \leq \xi_0, \quad (7)$$

$$w^{II} = f \left[0.5(\xi^2 - \xi_0^2) \frac{\xi_0^2(1-\nu) - (3+\nu)}{1+\nu} + \xi_0^2(\ln \xi - \ln \xi_0) + (\xi^2 \ln \xi - \xi_0^2 \ln \xi_0) \right], \quad \xi \geq \xi_0,$$

f – параметр прогиба, подлежащий определению.

При $\xi_0 = 0,181818$, $\nu = 0,3$ постоянные, входящие в (7), равны

$$0.5 \left[(\xi_0^2 - 1) \frac{1-\nu}{1+\nu} + 2 \ln \xi_0 \right] = -1.965078670, \quad (8)$$

$$0.5 \frac{\xi_0^2(1-\nu) - (3+\nu)}{1+\nu} = -1,260330578$$

Тогда, для рассматриваемых областей I и II, величины ω из (6) соответственно равны:

$$\omega^I = (-3.930157346\xi)A, \quad (9)$$

$$\omega^{II} = A(-1.520661157 \xi + \frac{\xi_0^2}{\xi} + 2\xi \ln \xi), \quad A = \frac{f}{a}$$

Внося ω^I в уравнение (6) и проинтегрировав по ξ , получим

$$T_1^I = -0.9653834456 A^2 \xi^2 + C_1, \quad (10)$$

где C_1 – постоянная интегрирования. Вторая постоянная C_2 положена равной нулю ввиду ограниченности решения в центре пластины.

Внося выражение ω^{II} в уравнение (6), получим для области II

$$\bar{T}_1'' = -0.5 A^2 F(\xi) + C_3 + \frac{C_2}{\xi^2}, \quad (11)$$

$$F(\xi) = \left[-\frac{1}{2} \left(\frac{\xi_0}{\xi} \right)^2 - \frac{\xi^2}{4} - 0.0833276415 - 1.260330578 \xi^2 \right] \ln \xi + \\ + (\ln \xi)^2 (0.5 \xi^2 + \xi_0^2) + 1.29679922 \xi^2 + 0.04166382, \quad (12)$$

где C_2 и C_3 – постоянные интегрирования.

Удовлетворяя условию $\bar{T}_1''(1) = 0$, получим:

$$C_2 = -C_3 + 0.5 A^2 F(1), \quad F(1) = 1.338463049, \quad F(\xi_0) = 1.308182454, \quad (13)$$

$$\bar{T}_1'' = 0.5 A^2 \left[\frac{F(1)}{\xi^2} - F(\xi) \right] + C_3 \left(1 - \frac{1}{\xi^2} \right).$$

Выполняя условие сопряжения усилий на границе областей I и II, $\bar{T}_1'(\xi_0) = \bar{T}_1''(\xi_0)$, найдем постоянную C_1 :

$$C_1 = 0.5 A^2 \left[1.93076709 \xi_0^2 + \frac{F(1)}{\xi_0^2} - F(\xi_0) \right] + C_3 \left(1 - \frac{1}{\xi_0^2} \right). \quad (14)$$

Тогда имеем

$$\bar{T}_1' = 0.5 A^2 [1.93076709 (\xi_0^2 - \xi^2) + 39.180324827] - 29.25 C_3. \quad (15)$$

Осталось невыполненным условие равенства радиальных перемещений u^I и u^{II} областей I и II на их границе. Для этого по второй из формул (5) выразим кольцевые деформации ε_2 через усилия областей I и II при $\xi = \xi_0$

$$\varepsilon_2^I = \frac{u^I}{a \xi_0} = \frac{1}{Eh} \left[\frac{d(\xi T_1)}{d\xi} - \nu T_1' \right] = \frac{u^{II}}{a \xi_0} = \frac{1}{Eh} \left[\frac{d(\xi T_1'')}{d\xi} - \nu T_1'' \right] = \varepsilon_2^{II}. \quad (16)$$

Внося в (16) усилия \bar{T}_1' , \bar{T}_1'' , получим уравнение для определения C_3

$$C_3 = 0.6503663695 A^2. \quad (17)$$

Тогда окончательно запишем:

$$\bar{T}_1' = 0.5 A^2 [1.9307670912 (\xi_0^2 - \xi^2) + 1.133892164], \quad (18)$$

$$\bar{T}_1'' = 0.5 A^2 [1.3384630489 \xi^{-2} - F(\xi) + 1.300732739 (1 - \xi^{-2})].$$

Запишем 2-ое уравнение (1) в виде:

$$\frac{1}{\xi} \frac{d}{d\xi} [(Q + T_1 \omega) \xi] = 0. \quad (19)$$

Запишем вариационную формулу в виде

$$\xi (Q + T_1 \omega) \delta w \Big|_{\xi=1} - \int_0^1 \xi (Q + T_1 \omega) \frac{d\delta w}{d\xi} d\xi = 0. \quad (20)$$

Учитывая, что на краю при $\xi = 1$:

$$Q^{(u)} = -p, \quad T_1''(1) = 0,$$

(p – заданное усилие), имеем вариационную формулу

$$1.105956 p - \int_0^{\xi_0} T_1' (\omega')^2 \xi d\xi - \int_{\xi_0}^1 \left[-\frac{4D}{a^2} \frac{\omega''}{\xi} + T_1'' (\omega'')^2 \right] \xi d\xi = 0 \quad (21)$$

Вычисления дают

$$\int_0^{\xi_0} T_1' (\omega')^2 \xi d\xi = 0.0024374 \quad 4 \int_{\xi_0}^1 \omega'' d\xi = -4.42382509 \quad \int_{\xi_0}^1 T_1'' (\omega'')^2 \xi d\xi = 0.173483$$

В результате имеем следующее уравнение относительно величины $A = f/a$

$$0.17592036 E h A^3 + 4.423825085 \frac{D}{a^2} A - 1.10596 p = 0 \quad (22)$$

По уравнению (22) были выполнены числовые расчеты при следующих данных:

$$a = 5.5 \text{ см}, \quad h = 0.05 \text{ см}, \quad \xi_0 = 0.181818, \quad E = 200000 \text{ МПа}, \quad \nu = 0.3, \\ D = 22.893 \text{ кг/см}, \quad B = 109890 \text{ кг см}.$$

В начале решена линейная задача при $p = 0.01 \text{ кг/см}$. Прогиб края $\xi = 1$ оказался равным 0.02 см , что составляет $0.4h$. Затем с шагом $\Delta p = 0.01 \text{ кг/см}$ решалось уравнение (22).

Результаты решения приведены в табл. 1.

Таблица 1. Прогибы при $\xi = 1$

$p(\text{кг/см})$	0.01	0.02	0.03	0.04	0.05
$-w(\text{см})$	0.0191	0.0344	0.0462	0.0537	0.0637

$p(\text{кг/см})$	0.06	0.07	0.08	0.09	0.10
$-w(\text{см})$	0.0705	0.0766	0.0821	0.0871	0.0916

$p(\text{кг/см})$	0.12	0.15	0.17	0.20	0.22
$-w(\text{см})$	0.0998	0.1104	0.1165	0.125	0.1305

На рис. 2 представлена зависимость «давление – прогиб» для линейного (сплошная линия) и нелинейного (обозначены точками) случаев.

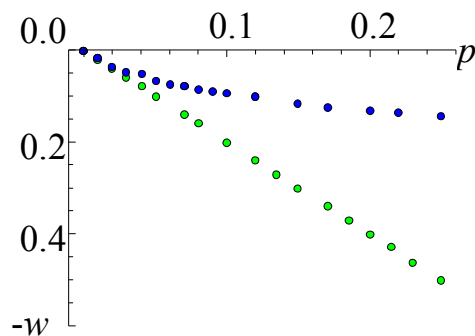


Рис.2

Из рис.2 видно существенное отличие нелинейного решения от линейного решения. Т.е. при определении напряжений необходимо использовать нелинейное решение задачи.

Л и т е р а т у р а

1. Yakupov N.M., Giniyatullin R.R., Yakupov S.N. Effect of a Magnetic Field on Corrosive Wear // ISSN 1028_3358, Doklady Physics, 2012, Vol.57, No.3, pp.104-106.

2. *Yakupov N.M., Giniyatullin R.R., Yakupov S.N.* Influence of the magnetic field on corrosive wear // 19th European Conference on Fracture: Fracture Mechanics for Durability, Reliability and Safety. Kazan, Russia, 26-31 August, 2012. 203_proceeding.pdf.

3. *Yakupov N.M., Giniyatullin R.R., Yakupov S.N.* Effect of Ultraviolet Radiation on the Corrosive Wear of Steel Samples // ISSN 1028_3358, Doklady Physics, 2012, Vol.57, No.10, pp.393-395.

4. *Yakupov N.M., Giniyatullin R.R., Yakupov S.N.* The Influence of the Character of Deformation of Structural Element Surfaces on the Corrosive Wear // Strength of materials, 2012, pp.1-7.

5. *Yakupov N.M., Giniyatullin R.R., Yakupov S.N.* Corrosion on the deformed surfaces // 19th European Conference on Fracture: Fracture Mechanics for Durability, Reliability and Safety. Kazan, Russia, 26-31 August, 2012. 347_proceeding.pdf.

6. *Yakupov N.M., Giniyatullin R.R., Yakupov S.N.* Expedient and the device for diagnostics of mechanical characteristics of the loaded thin-walled elements in the conditions of a flow // XVI International Conference on the Methods of Aerophysical Research – ICMAR-2012. Abstracts. Part 1. Kazan, August 19-25, 2012. Pp.256-257.

7. *Якупов Н.М., Велиюлин И.И., Антонов В.Г., Нуруллин Р.Г., Гиниятуллин Р.Р., Якупов С.Н.* Способ испытания тонкостенных образцов под напряжением и устройство «Летающая тарелка» для его осуществления. Патент на изобретение РФ №243707.

8. *Муштару Х.М., Галимов К.З.* Нелинейная теория упругих оболочек. Таткнигоиздат. Казань, 1957. С.431.

**NONLINEAR DEFORMATION OF CIRCULAR PLATES, PIVOTALLY
SUPPORTED ON THE SUPPORT RING AND LOADED BY A DISTRIBUTED
FORCE ALONG THE EDGE**

N.K. GALIMOV

*Institute of Mechanics and Engineering, Kazan Science Center,
Russian Academy of Sciences*

The solution to the problem of nonlinear deformation of a circular plate pivotally supported on the support ring and loaded by a distributed force along the edge. The problem has arisen with the need for a more accurate assessment of the stress level on the surface of the sample in the study of the loaded samples in corrosive environment.

KEYWORDS: round plate, annular bearing, the Bubnov - Galerkin method, the deflection compatibility of deformations